

la. Finalmente, deve referir-se o facto de não existir qualquer influência directa do regime de agitação no diagnóstico da estrutura.

Esta base nos elementos recolhidos nas diversas campanhas de observação visual, e aplicando determinados critérios pré-estabelecidos, é possível fornecer ao utilizador a classificação do estado actual de cada um dos troços já referidos, bem como o seu estado de evolução e o respectivo estado de risco. Estes resultados permitem caracterizar globalmente a segurança das estruturas, bem como avaliar a eventual necessidade de se efectuar obras de vulto ou pequenas reparações, isto é, realizar o diagnóstico da estrutura.

Pese embora as virtudes da inspecção visual da parte emersa dos quebra-mares de taludes realizada pelo LNEC, nomeadamente no que se refere à compreensão do comportamento *in-situ* destas estruturas e às indicações sobre a necessidade de obras de reparação ou manutenção que dela se pode obter, esta abordagem tem algumas limitações intrínsecas. A mais importante resulta do facto de a inspecção visual estar limitada à parte emersa da estrutura pois, para evitarias que ocorram na parte submersa da estrutura, pode demorar muito tempo até que os seus efeitos se tornem visíveis na parte emersa. Além disso, para muitos dos parâmetros que é necessário caracterizar no impresso de inspecção, apenas existe uma escala qualitativa (Figura 1) ficando ao critério do observador o estabelecimento dos limites quantitativos para essa escala.

Toda a informação relativa a cada uma das campanhas de observação visual é armazenada na base de dados ANOSOM. Esta base de dados inclui ainda um pequeno historial de cada uma das estruturas em observação e a caracterização exacta quanto possível de cada um dos troços em que cada uma das obras foi dividida.

Com base nos elementos recolhidos nas diversas campanhas de observação visual, e aplicando determinados critérios pré-estabelecidos, é possível fornecer ao utilizador a classificação do estado actual de cada um dos troços já referidos, bem como o seu estado de evolução e o respectivo estado de risco. Estes resultados permitem caracterizar globalmente a segurança das estruturas, bem como avaliar a eventual necessidade de se efectuar obras de vulto ou pequenas reparações, isto é, realizar o diagnóstico da estrutura.

3.1. Inspeção robotizada de quebra-mares de taludes

Para obter a alguns destes problemas, o LNEC, o ISR, a APS e a APA estão envolvidos num projecto de investigação em consórcio, cujo objectivo é o desenvolvimento de ferramentas e metodologias para a inspecção da geometria dos taludes de quebra-mares.

Uma das fases mais importantes deste projecto é o desenvolvimento pelo ISR de um instrumento de medição para a realização de levantamentos com alta precisão. Este instrumento, denominado IRIS, será constituído por um sistema *laser* para levantar a parte emersa da estrutura e por uma sonda acústica com varrimento mecânico para levantar a parte submersa, Figura 2.

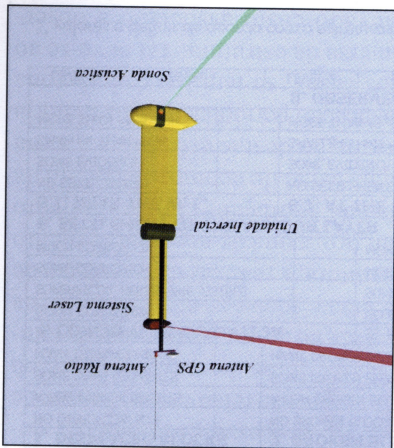


Figura 2. Instrumento para fazer levantamentos de alta precisão.

O IRIS conterá os seguintes sensores e sistemas:

- uma sonda acústica, com feixe muito fino (abertura de cerca de 1 grau), equipada com um sistema de varrimento mecânico, para levantar a parte submersa das estruturas com grande precisão.
- O varrimento mecânico do feixe da sonda possibilita a realização do levantamento com o veículo do levantamento com o veículo

Este catamará autónomo, denominado DELFIM, pode seguir rotas pré-determinadas com grande precisão, é equipado com dois motores eléctricos com hélices e deslocase à velocidade máxima de 5 nós. Para determinar com exactidão a sua posição e velocidade corre a um sistema de posicionamento via satélite (GPS com RTK). Para além disso, o veículo possui um sistema de orientação que lhe permite determinar o seu rumo e in-

3. Novas ferramentas de inspecção

Este catamará autónomo, denominado DELFIM, pode seguir rotas pré-determinadas com grande precisão, é equipado com dois motores eléctricos com hélices e deslocase à velocidade máxima de 5 nós. Para determinar com exactidão a sua posição e velocidade corre a um sistema de posicionamento via satélite (GPS com RTK). Para além disso, o veículo possui um sistema de orientação que lhe permite determinar o seu rumo e in-

ram que o dano numa secção de um quebra-mar de talude provocado por uma tempestade depende do dano sofrido antes do início da tempestade, bem como dos parâmetros do estado de agitação associado à tempestade, incluindo a sua duração:

$$[S(t)]_{l/b} = [S(t_n)]_{l/b} + d_s N_s \left(\frac{T}{t - t_n} \right)^m \quad (1)$$

em que $\bar{S}(t)$ é o dano médio no instante t contido no intervalo $t_n \leq t \leq t_{n+1}$, durante o qual se pode admitir que os parâmetros caracterizadores da agitação marítima (H_s e T_m , o período médio de zero ascendente) se mantêm constantes; $N_s = H_s / (\Delta D^{n_s})$ é o parâmetro de estabilidade no mesmo intervalo de tempo. Esta fórmula permite a avaliação da evolução do dano no manto, quer desde a sua construção quer se for conhecido apenas o seu estado actual.

No cálculo da probabilidade de falha do manto protector pode utilizar-se um procedimento probabilístico de nível III: um conjunto de sequências de estados de agitação independentes, correspondentes a um determinado intervalo de tempo, é gerado aleatoriamente de acordo com a distribuição de probabilidade respectiva, estimando-se o dano no fim de cada uma das sequências e contando-se o número de falhas no conjunto simulado. O quociente entre o total de falhas e o número de sequências simuladas é uma estimativa da probabilidade de falha.

Para reduzir a influência de estados de agitação pouco energéticos na simulação do comportamento do manto sob a acção de agitação marítima utilizou-se o conceito de número de estabilidade crítico (Smith *et al.*, 1992) para definir um limiar de altura significativa abaixo do qual o aumento do dano pode ser desprezado.

Como o manto protector do manto do oeste do porto de Sines é constituído por uma estrutura de tipo de utilização para este tipo de utilização, eles estabelecem-se a partir de uma fórmula que pode ser utilizada para este tipo de utilização.

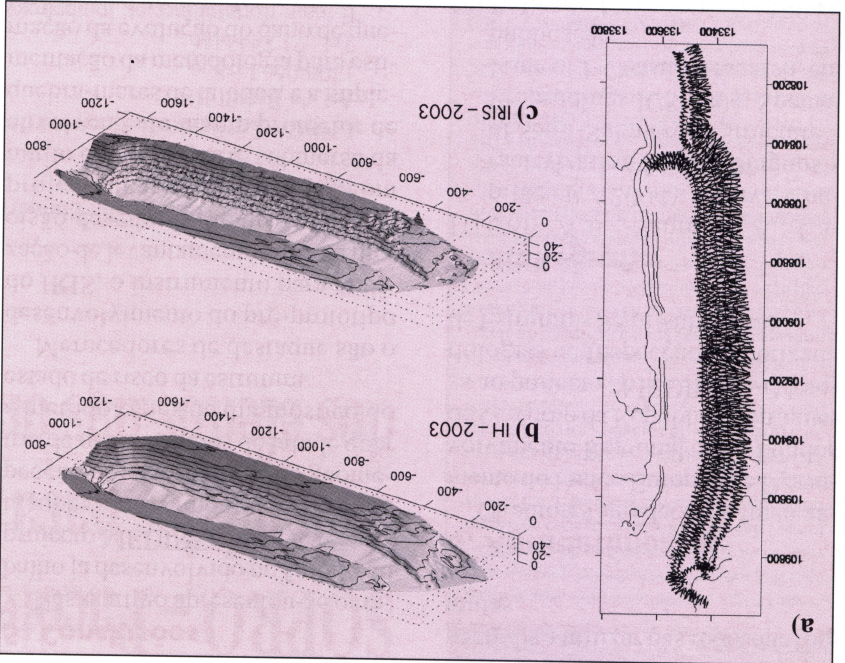


Figura 6. a) Pontos levantados pelo IRIS em 2003; b) Perspectiva da superfície obtida com os pontos levantados pelo IH em 2003; c) Perspectiva da superfície obtida com os pontos levantados pelo IRIS em 2003.

vantagens implica um maior detalhe na descrição do talude do manto protector, como pode ver-se na mesma figura, que apresenta as perspectivas das superfícies que podem ser definidas a partir do levantamento do IH de 2003, Figura 6 b), e do levantamento do IRIS de 2003, Figura 6 c).

4. Novas ferramentas de diagnóstico

Com os levantamentos do IRIS é possível conhecer a evolução da envolvente do manto protector do quebra-mar. Partindo de uma medição de agitação e do regime de agitação na zona de implantação da estrutura pode avaliar-se a possibilidade de os estragos na estrutura atingirem valores considerados excessivos, logo, realizar o diagnóstico da estrutura.

Para alcançar esse objectivo já foram dados alguns passos no âmbito do projecto MEDIRES, que consistiram na adaptação de uma base de dados já existente para incluir a informação recolhida nos levantamentos realizados com o IRIS; no desenvolvimento de um pacote numérico para o cálculo da

evolução da agitação marítima de o largo até à proximidade da costa ou ao interior de bacias abrigadas, o pacote SOPRO (Pinheiro *et al.*, 2005); e na implementação de uma metodologia para avaliação da evolução do dano de quebra-mares de taludes. Neste artigo foca-se apenas este último aspecto.

No diagnóstico de quebra-mares de taludes podem utilizar-se as ferramentas empregues na verificação da segurança de estruturas com métodos probabilísticos. Tal implica a definição de modos de falha e das respectivas relações solicitacao-resistência que, neste caso, devem ser válidas mesmo para estruturas com alguns danos iniciais.

Embora existam vários modos de falha que devem ser considerados para o estabelecimento da probabilidade de falha de um quebra-mar de taludes, o trabalho realizado até agora no âmbito do MEDIRES tem-se concentrado no modo de falha por instabilidade hidráulica (Melby e Kobayashi (1999) apresentam uma fórmula que pode ser adequada para este tipo de utilização. Com efeito, eles estabelecem

pectivos a utilizar nas referidas fórmulas.

6. Agradecimentos

Os autores agradecem o financiamento do Fundo Europeu de Desenvolvimento Regional e dos Fundos do Governo da República Portuguesa ao projecto "MEDIREES - Metodologias de Inspeção Robotizada de Estruturas Semi-submersas".

7. Bibliografia

- [1] Colli, A.B.; Santos, J.A.; Capitaio, R. (2004). "Wave Characterization for the Diagnosis of Semi-Submerged Structure". Proceedings ICS 2004, Special Issue of J. Coastal Research, em publicação.
- [2] Palisade Corporation (1994). "Risk analysis and simulation add-in for Microsoft Excel or Lotus 1-2-3, Windows Version Release 3.1 User's Guide". Palisade Corporation, USA.
- [3] Pinheiro, L.; Fortes, C.J.; Neves, M.G.; Santos, J.A. (2005). "An operational tool for wave regime characterization and propagation. Application to the port of Sines", in WAVES 2005, Madrid, Julho de 2005.
- [4] Sousa, J.A.; Pinheiro, L.; Santos, J.A.; Capitaio, R. (2005). "Storm data analysis for risk assessment of rubble-mound structures", in WAVES 2005, Madrid, Julho de 2005.

5. Conclusões

Neste artigo apresentou-se o trabalho já desenvolvido no âmbito do projecto MEDIREES, no que respecta, quer a instrumentos para a inspeção precisa e eficaz da geometria de quebra-mares de talude quer a metodologias de diagnóstico do estado de risco da estrutura.

Merecedores de destaque são o desenvolvimento do pré-protótipo do IRIS, o instrumento para realização de levantamentos de alta precisão desenvolvido no âmbito do projecto, capaz de levantar com muito detalhe a parte submersa da envolvente do manto protector de quebra-mares de taludes, e a implementação da metodologia para estimação da evolução do dano de quebra-mares de taludes utilizando métodos probabilísticos.

Com a inclusão, em breve, do laser no IRIS ter-se-á um instrumento capaz de levantar, quer a parte submersa quer a parte emergsa de quebra-mares de taludes. Por outro lado, a implementação das fórmulas de Melby e Kobayashi (1999) para cálculo da evolução do dano de um quebra-mar com manto protector de entrocamento mostrou as capacidades destas fórmulas e reforçou o interesse na realização de ensaios de grande duração com modelos físicos reduzidos de estruturas com mantos protectores construídos por elementos artificiais, para se obter os coeficientes res-

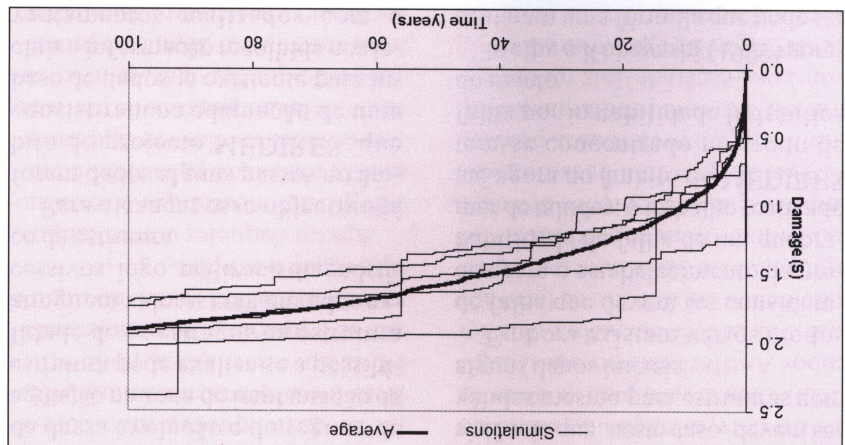


Figura 7. Evolução do dano acumulado em cinco simulações com 100 anos de duração e média de 100 simulações.

tudo por cubos Antifer e os coeficientes a_S e b da equação (1) foram determinados para mantos de entrocamento, aquela equação não pode ser utilizada ainda para estimar a evolução do manto desta estrutura. Em vez disso, a metodologia de avaliação da probabilidade de falha (Sousa *et al.*, 2005) foi testada com o molhe de protecção do porto de pesca de Sines, que é constituído por entrocamento com 4,5 toneladas.

Definidas as distribuições de probabilidade de H_s e de T_m para um ponto frente a este molhe, utilizou-se o pacote @Risk (Palisade Corporation, 1994) para gerar as séries temporais dos parâmetros da agitação marítima nesse mesmo ponto. Realizaram-se 100 simulações, cada qual cobrindo um período de 100 anos.

Na Figura 7 apresentam-se as curvas com a evolução do dano da estrutura em cinco das 100 simulações realizadas, bem como a curva resultante da média daquelas 100 simulações. A figura mostra que a maior parte do dano é o resultado de episódios notáveis. A mesma figura mostra, especialmente a curva com a média das 100 simulações, que existe uma tendência para o abrandamento do dano acumulado à medida que a estrutura vai ficando danificada, indicando uma aproximação a um estado de equilíbrio nunca atingido.

Embora o procedimento descrito possa ser utilizado, quer para o dimensionamento dos elementos do manto quer para determinar a probabilidade de uma dada solução satisfazer um critério pré-definido, deve ter-se sempre em mente que o modelo para a evolução do dano só é válido para estruturas semelhantes à considerada. Caso se pretenda utilizar este modelo em estruturas cujo manto não seja de entrocamento é necessário verificar-se a sua validade e, possivelmente, ajustar os parâmetros da equação (1) com um novo conjunto de resultados experimentais.